

Digital 楕圓 필터의 Computer-Aided Design

(Computer-Aided Design of Digital Elliptic Filters)

李鍾寅*, 金東龍*

(Chong In Lee and Dong Yong Kim)

要 約

本論文에서는 bilinear z變換法을 利用한 楕圓 digital 필터 設計에 對하여 研究 했으며, 미리 주어진 設計明細條件를 滿足할 수 있는 設計法을 提示하였다. Computer simulation에 依하여 analog 필터 크기特性과 digital 필터 크기特性을 比較하였다.

마지막으로, digital 필터의 量化化 影響에 對하여 考察했다. Dynamic range 條件下에 固定小數點 digital 필터의 實現에 있어서, IIR digital 필터의 出力雜音은 pole-zero pairing과 2次函數 部分의 ordering에 따라 매우 다르게 된다. 그러므로 良好한 ordering과 pairing을 求하는 方法이 바람직하다. 따라서, 本論文에서는 거의 最適한 ordering과 pairing을 決定하기 為한 庫最的 方法을 提示하였다.

Abstract

In this paper, we studied on the design of elliptic digital filters using the bilinear z transformation method, and proposed a design procedure satisfying prescribed specifications. The magnitude characteristics of digital filters are compared with its of analog filters by computer simulation.

Finally we considered the quantization effects of digital filters. In cascader realization of fixed-point digital filters under dynamic range constraints, the output noise for IIR digital filters depends on the pole-zero pairing and ordering of the second order sections. Therefore an optimization procedure to finding a good ordering and pairing is very desirable.

Thus, we proposed a sub-optimization procedure for finding "near optimal" solution.

I. 序論

Digital 信號處理는 최근 PCM通信, 人工衛星通信 등에 있어서 필수적인 分野이다. 특히 digital 필터는 音聲處理, 圖像處理, 水中音波探知機와 레이더시스템, digital 制御系統等 여러분야에 널리 使用되고 있으며,

analog 필터에 比해 安定度, 信賴度, 正確度, 適應度 등의 장점을 가지고 있다.^[1]

Digital 필터 設計時 利用되는 函數는 Butterworth, Chebyshev, Bessel, 楕圓(Elliptic)函數 등^[2-4]이 있으나, 通過域(pass band)과 滞止域(stop band)에서 等波狀(equal ripple) 特性을 가지고 遷移域(transition band)이 가장 좋은 楕圓函數를 利用한 필터設計法이 최근 많이 연구 되어지고 있다.^[5-7]

本論文에서는 他函數에 比해 周波數 應答特性이 가장 優秀한 楕圓函數를 利用하여 IIR digital 필터를 cascade 연결법으로 合成할 수 있도록, digital 필터의 設計明細條件(specification)이 周波數 領域에서 주파

*正會員, 全北大學校 電氣工學科

(Dept. of Electrical Eng., Chonbuk Nat'l Univ.)

接受日: 1986年 11月 24日

(※ 本研究는 1986年度 전반기 한국과학재단 차관연구비 지원의一部로 이루어진 것임)

수函數로 주어질 때, digital橢圓函數를 求하기 為한 computer program을 作成하였다.

IIR digital 필터를 dynamic range 條件^[8,9]下에 固定小數點(fixed point) register를 使用하여 cascade連結法으로 構成할 경우, register의 有限語長(finite word length)影響에 起因하는 出力雜音은 各 2次因f(quadratic factor)의 pole-zero pairing과 pairing된 各 2次函數 block의 sequential ordering에 따라 매우 다르게 된다. 그러므로 本論文에서는 出力雜音利得(noise gain)^[14] E^2/N_o 을 거의 最小로 할 수 있는 computer program을 作成하여 high-pass, band-pass 필터의 경우 出力雜音利得을 調査하였다.

II. 橢圓(Elliptic)函數

1. Analog 필터의 傳達函數

Cauer에 依하여 처음 提案된 타원함수는 式(1)과 같아 次數 N이 偶數이면 分母와 分子의 次數가 同一하고, 奇數이면 分母의 次數가 分子의 次數보다 하나 높은 有理函數이다.^[2-4]

$$H(s) = \frac{K \prod_{i=1}^r (s^2 + C_i)}{A_0 + A_1 s + \dots + A_{N-1} s^{N-1} + A_N s^N} \quad (1)$$

$$\text{여기서 } r = \begin{cases} (N-1)/2, & N: \text{기수(odd)} \\ N/2, & N: \text{우수(even)} \end{cases}$$

式(1)을 cascade連結法으로 필터를 合成하기 為하여 저역통과(low-pass) 함수의 규준화된 형태(normalized form)로 나타내면, 式(2)와 같다.

$$H_N(s) = \frac{H_c}{D_o(s)} \prod_{i=1}^r H_i(s) = \frac{H_o}{D_o(s)} \prod_{i=1}^r \frac{s^2 + A_{\alpha}}{s^2 + B_{\alpha} s + B_{\alpha}} \quad (2)$$

여기서 $D_o(s) = s + \sigma_o$ (N: 기수), 또는 1 (N: 우수)이며, $H_N(s)$ 의 誘導는 Grossman의 형식^[10]에 근거를 두었다. 式(2)에서 次數가 기수, 우수일 때의 損失特性(loss characteristic)을 그림 1에 나타내었다.

그림 1에서 parameter A_p 와 A_a 는 각각 dB로 表示된 최대 통과역파상(maximum passband ripple)과 최소 저지역손실(minimum stopband loss)이며, rad/sec로 표시된 통과역 edge ω_p 와 저지역 edge ω_a 는 다음과 같다.

$$\omega_p = \sqrt{k}, \quad \omega_a = 1/\sqrt{k} \quad (3)$$

여기서 $k = \omega_p/\omega_a$ 는 選擇度(selectivity factor)이다.

非規準化(nonnormalize)된 저역통과($H_{LP}(\bar{s})$), 고역통과($H_{HP}(\bar{s})$), ...函數등은 표 1에 나타낸 주파수變換法^[2-4]을 利用하여 式(4)로 부터 求할 수 있다.

$$H_x(\bar{s}) = H_N(s) \Big|_{s=f_x(\bar{s})} = \frac{H'_o}{D'_o(s)} \prod_{i=1}^r \frac{\bar{s}^2 + A'_{\alpha}}{\bar{s}^2 + B'_{\alpha} \bar{s} + B'_{\alpha}} \quad (4)$$

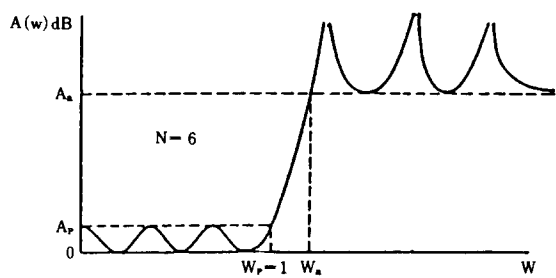
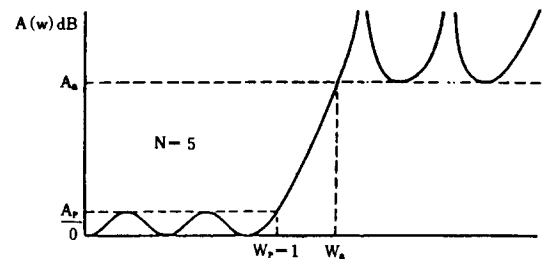


그림 1. 기수, 우수 차수의 타원필터에 대한 손실특성

Fig. 1. Loss characteristics for Elliptic filters of odd and even order.

표 1. Analog 함수의 주파수 변환

Table 1. Frequency transformation of analog functions.

$H_x(\bar{s})$	$f_x(\bar{s})$	λ : Scaling factor
$H_{LP}(\bar{s})$	$s = \lambda \bar{s}$	B : Band width $(\omega_{p2} - \omega_{p1})$
$H_{HP}(\bar{s})$	$s = \lambda / \bar{s}$	$(\omega_{a2} - \omega_{a1})$
$H_{BP}(\bar{s})$	$s = \frac{1}{B} \left(\bar{s} + \frac{\omega_o^2}{\bar{s}} \right)$	ω_o : Center freq, $\sqrt{\omega_{p1} \cdot \omega_{p2}}$
$H_{BS}(\bar{s})$	$s = \frac{B \bar{s}}{\bar{s}^2 + \omega_o^2}$	$\sqrt{\omega_{a1} \cdot \omega_{a2}}$

여기서 $D_o(\bar{s}) = \bar{s} + \sigma'_o$ (N: 기수), 또는 1 (N: 우수)이다.

2. Digital 필터의 傳達函數

Digital 필터의 傳達函數 $H(z)$ 는 $H_N(s)$ 로부터 求하며, 그림 2처럼 2 가지의 방법이 있으나 前節에서 analog函數의 주파수 변환법을 論했으므로 No.1의 방법을 利用한다.

式(4)의 $H_x(\bar{s})$ 로부터 $H(z)$ 를 求하는 방법에는 여러 방법^[2-4]이 있으나, 本論文에서는 aliasing effect^[11,12]를 除去할 수 있고 analog函數로부터 直接 digital函數로 連續的으로 one-to-one mapping^[1]이 可能한 bilinear z變換法을 利用한다. 즉

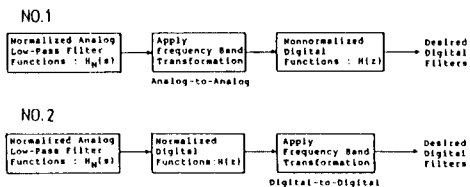


그림 2. $H(s)$ 로 부터 비규준화된 digital함수 $H(z)$ 의 근사법

Fig. 2. Approximation of the nonnormalized digital functions $H(z)$ by $H(s)$.

$$\begin{aligned} H(z) &\approx H_x(\bar{s}) \Big|_{\bar{s}=z z^{-1} T z^{-1}} \\ &= \frac{H'_0(1+z^{-1})}{(C+\sigma'_0)-(C-\sigma'_0)z^{-1}} \prod_{i=1}^r \frac{(C^2+A'_{oi})-2(C^2-A'_{oi})z^{-1}+(C^2+A'_{oi})z^{-2}}{(C^2+B'_{oi}+B'_0C)-2(C^2-B'_{oi})z^{-1}+(C^2+B'_{oi}-B'_0C)z^{-2}} \\ &= \frac{c_2(1+z^{-1})}{1+c_1z^{-1}} \prod_{i=1}^r \frac{a_{oi}+a_iz^{-1}+a_{2i}z^{-2}}{1+b_{1i}z^{-1}+b_{2i}z^{-2}} \quad (5) \end{aligned}$$

여기서 $T = \text{sampling 주기}$, $C = 2/T$

$$c_1 = \frac{C-\sigma'_0}{C+\sigma'_0}, \quad c_2 = \frac{H'_0}{C+\sigma'_0}$$

$$a_{oi} = a_{2i} = \frac{C^2+A'_{oi}}{C^2+B'_{oi}+B'_0C}, \quad a_{1i} = -\frac{2(C^2-A'_{oi})}{C^2+B'_{oi}+B'_0C}$$

$$b_{1i} = -\frac{2(C^2-B'_{oi})}{C^2+B'_{oi}+B'_0C}, \quad b_{2i} = \frac{C^2+B'_{oi}-B'_0C}{C^2+B'_{oi}+B'_0C}$$

式(2), (5)로부터 analog周波數 ω_i ($i=1, 2, \dots$) 와 digital周波數 Ω_i ($i=1, 2, \dots$) 의 관계는 式(6)으로 나타낼 수 있으며, 그림 3과 같다.

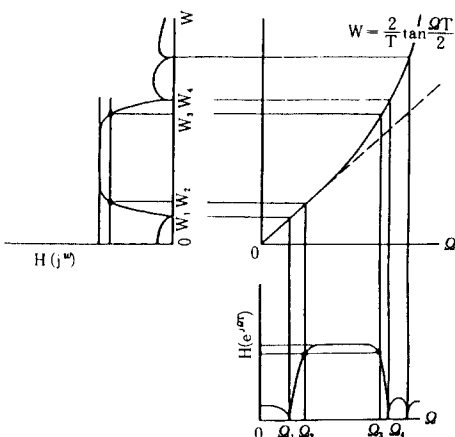


그림 3. Ω 와 ω , $|H(j\omega)|$ 와 $|H(e^{j\Omega})|$ 의 관계

Fig. 3. Relation ship Ω and ω , $|H(j\omega)|$ and $|H(e^{j\Omega})|$.

$$\Omega_i = \frac{2}{T} \tan^{-1} \frac{\omega_i T}{2} \quad (6)$$

그러므로 ω_i 를 Ω_i 로直接 one-to-one mapping 시킬 경우 크기(magnitude)特性은 同一하나 warping effect^[13,14] (周波數歪曲現象)가 發生 하므로 prewarping 을 해 주어야 한다.

Prewarping法에는 傳達函數 自體를 prewarping 시키는法^[13] 과 傳達函數의 極點(pole)과 零點(zero)을個別의으로 prewarping시키는法^[14]이 있으나, 本論文에서는 後者를 택하여 橋圓函數에 適用한다.

一般的으로 IIR digital 필터의 設計明細條件(specification)은 周波數領域에서 주어지는데, 이 設計條件의 Ω 로부터 직접 analog函數 $H_N(s)$ 를 求하기 前에 다음과 같은順序에 依하여 $H(z)$ 를 求해야 한다.

- ① 設計條件의 Ω 로부터 式(6)을 利用하여 새로운 analog周波數 ω_i 를 구하고
- ② 이 ω_i 로부터 $H_N(s)$ 를 求한 다음
- ③ 표 1로부터 $H_x(\bar{s})$ 를 求한다.
- ④ 式(5)를 利用하여 $H(z)$ 를 求한다.

그러나 設計條件으로부터 표 1의 λ , B , ω_o 와 $H_N(s)$ 의 W_p 를 결정해야 한다. 그 결과를 표 2에 나타내었다.

표 2. Digital 설계명세조건으로부터 구해진 analog 함수의 λ , B , W_o 와 W_p 의 변환표

Table 2. λ , B , W_o and W_p transformation table of analog function obtained from digital specifications.

LP	$\omega_p = \sqrt{K_0}$	$\lambda = \omega_p T / [2 \tan(\Omega_p T / 2)]$
HP	$\omega_p = 1/\sqrt{K_0}$	$\lambda = 2\omega_p \tan(\Omega_p T / 2) / T$
BP	$\omega_p = \begin{cases} \sqrt{K_1}, & (K_c \geq K_B) \\ \sqrt{K_2}, & (K_c < K_B) \end{cases}$	$W_o = 2\sqrt{K_B}/T$ $B = 2K_A/T W_p$
BS	$\omega_p = \begin{cases} 1/\sqrt{K_1}, & (K_c \geq K_B) \\ 1/\sqrt{K_2}, & (K_c < K_B) \end{cases}$	$W_o = 2\sqrt{K_B}/T$ $B = 2K_A \omega_p / T$

$K_0 = \frac{\tan(\Omega_p T / 2)}{\tan(\Omega_a T / 2)}$	$K_A = \tan \frac{\Omega_{p1} T}{2} - \tan \frac{\Omega_{p2} T}{2}$
$K_1 = \frac{K_A \tan(\Omega_{a1} T / 2)}{K_B - \tan^2(\Omega_{a1} T / 2)}$	$K_B = \tan \frac{\Omega_{p1} T}{2} \tan \frac{\Omega_{p2} T}{2}$
$K_2 = \frac{K_A \tan(\Omega_{a2} T / 2)}{\tan^2(\Omega_{a2} T / 2) - K_B}$	$K_c = \tan \frac{\Omega_{a1} T}{2} \tan \frac{\Omega_{a2} T}{2}$

3. Computer program 및 Simulation

(1) Program

IIR digital 필터의 設計明細條件이 周波數領域에서 $\{A_p, A_a, \Omega_{p1}, \Omega_{a1}, T\}$ 로 주어질 때 cascade連結法으로 digital 필터를 合成할 수 있도록 式(5)의 각 係數값을 求하는 program을 作成했으며 structured program을 그림 4에 나타내었다.

```

PROCEDURE Design
  READ Type, Ap, Aa, T
  IF Type$ = Lp or Hp
  THEN BEGIN
    READ Wp, Wa
    calculate Lambda
  END
  ELSE BEGIN
    READ Wp1, Wp2, Wa1, Wa2
    calculate Wo, Bw
  END
  call routine of normalized equation      ; Hn(s)
  call routine of frequency transformation ; Hx(s)
  call routine of bilinear z transformation ; H(z)
  WRITE coefficient of digital filters
  WRITE poles & zeros
END PROCEDURE

```

그림 4. IIR digital 타원필터 설계를 위한 구조화 프로그램

Fig. 4. structured program for IIR digital Elliptic filters design.

표 3. High-pass 필터의 계수

Table 3. High-pass filter coefficients.

ELLIPTIC HIGHPASS FILTER

INPUT DATA :	OUTPUT DATA :
SAMPLING FREO : 10000 (Hz)	Lambda : 24989.5885225
A _p (dB) : 5	Selectivity : .824100732787
A _a (dB) : 90	ORDER : 10
W _p : 3000 [Hz]	ACTUAL A _a : 93.95708232
W _a : 2700 [Hz]	

* H(Z)=H * H1(Z) * H2(Z) *	
* H1(Z)=[A0 i+A1iZ^(-1)+A2iZ^(-2)]/[B0i+B1iZ^(-1)+B2iZ^(-2)] *	

SECTION # : 1	
A (0, 1) : .0385801820078	B (0, 1) : 1
A (1, 1) : -.0694478938898	B (1, 1) : 1.37682786336
A (2, 1) : .0385801820078	B (2, 1) : .52343612127
SECTION # : 2	
A (0, 2) : .184646013718	B (0, 2) : 1
A (1, 2) : -.159078153268	B (1, 2) : 1.125677867786768
A (2, 2) : .184646013718	B (2, 2) : .654048048381
SECTION # : 3	
A (0, 3) : .431680073234	B (0, 3) : 1
A (1, 3) : -.0847308231003	B (1, 3) : .852080221967
A (2, 3) : .431680073234	B (2, 3) : .800171191536
SECTION # : 4	
A (0, 4) : .651481246828	B (0, 4) : 1
A (1, 4) : .0766417641219	B (1, 4) : .677467165088
A (2, 4) : .651481246828	B (2, 4) : .903787894622
SECTION # : 5	
A (0, 5) : .775189486915	B (0, 5) : 1
A (1, 5) : .183939168044	B (1, 5) : .605294057638
A (2, 5) : .775189486915	B (2, 5) : .971733863423
H : .944060876286	

(2) Simulation

本論文에서 제시한 program에 의하여 다음과 같은 high-pass 필터와 band-pass 필터를 simulation 하

였다.

① High-pass 필터

$A_p = 0.5\text{dB}$, $A_a = 90\text{dB}$, $\Omega_p = 3\text{KHz}$, $\Omega_a \leq 2.7\text{KHz}$, $T = 10^{-4}\text{sec}$ 인 경우 式(5)의 각係數는 표3과 같고, 크기特性과 損失特性을 그림5의 (a), (b)에 각각 나타내었다.

② Band-pass 필터

$A_p = 0.2\text{dB}$, $A_a = 40\text{dB}$, $\Omega_{p1} = 2\text{KHz}$, $\Omega_{p2} = 3\text{KHz}$, $\Omega_{a1} \geq 1.9\text{KHz}$, $\Omega_{a2} \leq 3.1\text{KHz}$, $T = 10^{-4}\text{sec}$ 인 경우 式(5)의 각係數는 표4에 나타내었고, 크기特性과 損失特性을 그림6 (a), (b)에 각각 나타내었다.

(3) 檢討

그림5, 6의 크기特性과 損失特性에 나타난 것처럼 prewarping前의 特性들은 設計條件에 어긋나지만, prewarping後의 特性들은 設計條件을 만족 할 뿐만 아니라 analog 特性에 比해 천이역(transition band)

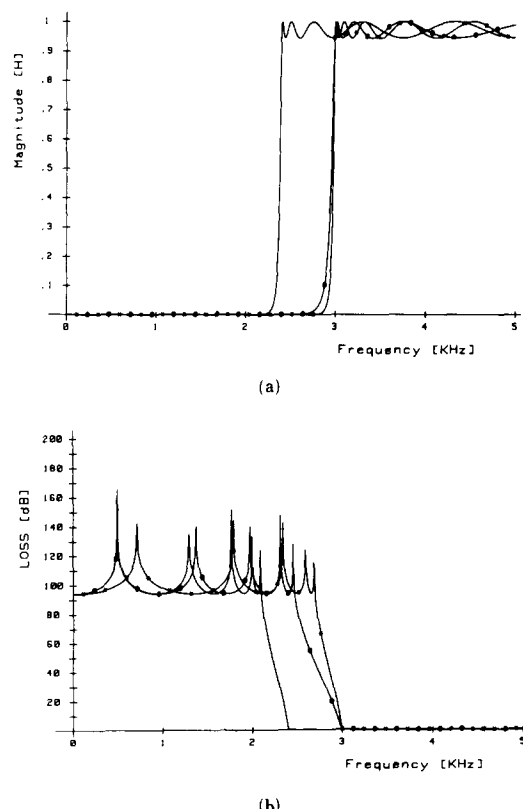


그림 5. High-pass 필터의 (a) 크기특성 (b) 손실특성
Fig. 5. High-pass characteristics of.

(a) magnitude and (b) loss
 ——— digital(before prewarping)
 -●- analog
 -★- digital(after prewarping)

표 4. Band-pass 필터의 계수

Table 4. Band-pass filter coefficients.

ELLIPTIC BANDPASS FILTER

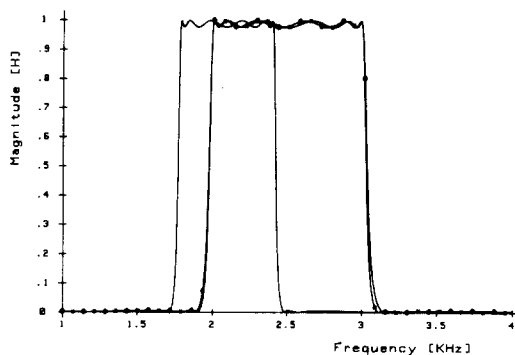
INPUT DATA :	OUTPUT DATA :
SAMPLING FREO : 10000 [Hz]	W_o : 20000
A_p [dB] : .2	BW : 14346.8356566
A_a [dB] : 40	Selectivity : .820633474907
$W_{p,1}$: 2000[Hz]	ORDER : 6
$W_{p,2}$: 3000[Hz]	ACTUAL A_a : 44.1716376224
$W_{a,1}$: 1900[Hz]	
$W_{a,2}$: 3100[Hz]	
***** * H(Z) = H * H1(Z) * H2(Z) * ... *	
* H1(Z) = $[A_0 + A_1 Z^{-1} + A_2 Z^{-2}] / [B_0 + B_1 Z^{-1} + B_2 Z^{-2}]$ *	
***** *	
SECTION # : 1	
$A(0,1)$: 3.28804048478	$B(0,1)$: 1
$A(1,1)$: 5.05694796214	$B(1,1)$: .224201447476
$A(2,1)$: 3.28804048478	$B(2,1)$: .743334454886
SECTION # : 2	
$A(0,2)$: .55611807898	$B(0,2)$: 1
$A(1,2)$: -.85529974402	$B(1,2)$: -.224201447476
$A(2,2)$: .55611807898	$B(2,2)$: .743334454886
SECTION # : 3	
$A(0,3)$: 1.22898878906	$B(0,3)$: 1
$A(1,3)$: 1.09279819887	$B(1,3)$: .515377097592
$A(2,3)$: 1.22898878906	$B(2,3)$: .880556476811
SECTION # : 4	
$A(0,4)$: .8292766672	$B(0,4)$: 1
$A(1,4)$: -.737380240037	$B(1,4)$: -.515377097592
$A(2,4)$: .8292766672	$B(2,4)$: .880556476844
SECTION # : 5	
$A(0,5)$: 1.07834308529	$B(0,5)$: 1
$A(1,5)$: .807356256566	$B(1,5)$: .621224902758
$A(2,5)$: 1.07834308529	$B(2,5)$: .970554816798
SECTION # : 6	
$A(0,6)$: .94291084148	$B(0,6)$: 1
$A(1,6)$: -.705958036579	$B(1,6)$: -.621224902758
$A(2,6)$: .94291084148	$B(2,6)$: .970554816798
H : .00618524833689	

이 약간 좁아졌음을 알 수 있다. 그러나 이 特性들은 hardware 構成時 register의 有限語長을 고려하지 않는 상태이다.

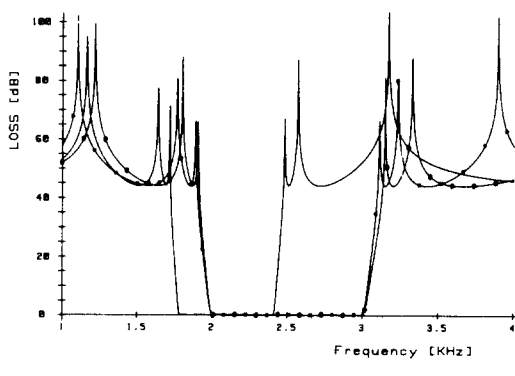
III. IIR digital 필터의 合成

式(5)의 digital 필터函數는 多樣한 방법으로 合成 시킬 수 있으나, 入力信號의 量子化 (quantization)에 起因하는 雜音 (noise) 과 誤差 (error) 들은 合成法에 따라 hardware 構成時 매우 다르게 된다.^[24]

本 論文에서는 式(5)의 각 2次函數에 對하여 digi-



(a)



(b)

그림 6. Band-pass 필터의
(a) 크기특성 (b) 손실특성

Fig. 6. Band-pass characteristics of. (a) magnitude and (b) loss.

- digital (before prewarping)
- analog
- *—*— digital (after prewarping)

tal 필터素子를 最小로 할 수 있는 canonic形으로 合成한 後, 高次函數에 有用한 cascade連結法으로 合成시킨다. 그 結果를 그림 7, 8에 各各 나타내었다.

그러나 cascade構成에 있어서 문제점은 pole-zero pairing과 pairing된 2次函數의 ordering이다. 例를 들어 $H(z)$ 가 式(7)처럼 나타내어 졌다면

$$H(z) = \frac{\prod_{i=1}^5 (a_{i1} + a_{i2}z^{-1} + a_{i3}z^{-2})}{\prod_{i=1}^5 (1 + b_{i1}z^{-1} + b_{i2}z^{-2})} = \frac{\prod_{i=1}^5 N_i(z)}{\prod_{i=1}^5 D_i(z)} \quad \text{II}(7)$$

式(7)의 可能한 pole-zero pairing과 ordering은 다음과 같다.

$$H(z) = \frac{N_1(z)}{D_2(z)} \times \frac{N_3(z)}{D_5(z)} \times \frac{N_4(z)}{D_1(z)} \times \frac{N_5(z)}{D_4(z)} \times \frac{N_2(z)}{D_3(z)} \quad \text{(8)}$$

여기서 pairing은 $N_1(z)$ 와 $D_2(z)$, $N_3(z)$ 와 $D_5(z)$ … 등

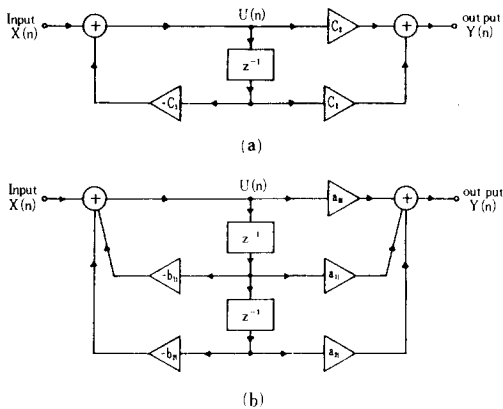


그림 7. Canonic 형 digital 필터 구성

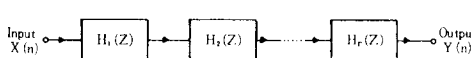
(a) $N = 1$ (b) $N = 2$ Fig. 7. Canonic form digital filter structures
(a) $N = 1$ (b) $N = 2$.

그림 8. 그림 7 의 cascade 실현

Fig. 8. Cascade realization of Fig. 7.

며, ordering은 $N_1(z)/D_2(z)$, $N_3(z)/D_3(z)$, …의順序이다. 물론 모든變數들을無限語長(infinite word length)로 나타낼 수만 있다면 pairing과 ordering은無意味하게 된다. 그러나實際의in狀態에서는 매우重要한문제이다.^[4,5] 그리고 cascade連結時 다른문제는필터의各變數들이너무크거나작게되는것을방지하기 위해그림8의各block사이에scaling乘算器(multiplier)를插入시켜주어야한다.^[4,5] 그러므로digital필터를hardware로構成하기前에量化化에起因하는雜音과誤差들이充分히考察되어져야한다.

IV. Pole-zero pairing과 ordering

1. 量子化에依한誤差分析

Digital필터의 hardware實現에 있어서 모든變數들은rounding이나 truncation에 의해量化化되기때문에入力, 係數 양자화 오차와乘算器에서의 round-off 오차를發生시킨다. 係數 양자화 오차는傳達函數의零點과極點의位置를變動시키기 때문에크기特性에영향을주며,^[5]乘算器의積算에依한양자화오차는出力雜音을增加시키는雜音源으로간주된다.^[4,5] 그러나加算器(adder)의合算의경우overflow가發生하지않으면出力측의雜音은발생되지않기때문에信號의크기(signal level)를적당히scaling하면overflow

를방지할수있다.^[4,5] 그러므로出力측에서발생되는雜音은승산기에서의round-off오차에만起因한다. 특히hardware實現時固定小數點register를使用하여digital필터를dynamic range條件下에cascade연결법으로構成할경우round-off오차는pole-zero pairing과pairing된2次함수의ordering에따라매우다르게되므로^[4,5]scaling因子S와出力平均自乘誤差E²에對하여고찰하면다음과같다.

式(5)로부터다음과같이2次項으로다시나타낼수있다.

$$H(z) = C_o \frac{\prod_{k=1}^K (a_{0i} + a_{1i}z^{-1} + a_{2i}z^{-2})}{\prod_{k=1}^K (1 + b_{1k}z^{-1} + b_{2k}z^{-2})} \quad (9)$$

여기서 C_o 는상수이며 k 는2次項의數이다. 그리고 $a_{2i} = b_{2i} = 0$ 이면1次函數가된다. 式(5)에서 $a_{0i} = a_{2i}$ 이므로式(9)를다시나타내면

$$\begin{aligned} H(z) &= C_o \frac{\prod_{k=1}^K (1 + a_{ki}z^{-1} + z^{-2})}{\prod_{k=1}^K (1 + b_{ki}z^{-1} + b_{2k}z^{-2})} \\ &= A_o \frac{\prod_{k=1}^K (1 + a_{ki}z^{-1} + z^{-2})}{\prod_{k=1}^K (1 + b_{ki}z^{-1} + b_{2k}z^{-2})} \end{aligned} \quad (10)$$

여기서 $A_o = C_o \cdot C_1 \cdot C_2 \cdot \dots \cdot C_K$

$$C_k \quad (k = 1, 2, \dots, K) = a_{0i} = a_{2i} \quad (i = 1, 2, \dots, r)$$

$$a_{ki} \quad (k = 1, 2, \dots, K) = a_{1i}/a_{0i} \quad (i = 1, 2, \dots, r)$$

$$b_{ki} \quad (k = 1, 2, \dots, K) = b_{1i} \quad (i = 1, 2, \dots, r)$$

式(10)으로부터分子의 n 번째 2次인자(quadratic factor)가分子의 n 번째 2次인자와pairing되어 i 번째 2次函數의block을이루었다고하면, 즉

$$H(z) = A_o \prod_{i=1}^K H_i(z) \quad (11)$$

여기서

$$H_i(z) = \frac{N_i(z)}{D_i(z)} = \frac{1 + a_{n1}z^{-1} + z^{-2}}{1 + b_{ki}z^{-1} + b_{2k}z^{-2}}$$

이러한 서로 다른방법의總數는 $(K!)^2$ 이다.

任意의 가지점(Fig. 7의 $u(n)$ 點)에서overflow를방지하기 위해各2次函數block에관련된scaling因子 $\{S_i\}$ ($i = 0, 1, \dots, K$)를고려하여式(11)을다시나타내면

$$H(z) = S_o \prod_{i=1}^K S_i H_i(z) = S_o \prod_{i=1}^K S_i \frac{N_i(z)}{D_i(z)} \quad (12)$$

여기서 $S_o \cdot S_1 \cdot S_2 \cdot \dots \cdot S_K = A_o$ 이다.

式(12)의合成을그림9에나타내었다. 그림9에서 S_o 는 $1/D_1(z)$ 의出力에서, S_1 는 $1/D_2(z)$ 의出力에서,… overflow를방지하기위한scaling因子이며다음과같다.^[4,5]

$$S_i^2 = \frac{1}{\frac{1}{2\pi j} \oint \frac{z^{-1}}{D_i(z) D_i(z^{-1})} dz}$$

$$S_i^2 = \frac{1}{2\pi j} \int \frac{N_1(z) N_1(z^{-1}) z^{-1}}{D_1(z) D_1(z^{-1}) D_2(z) D_2(z^{-1})} dz$$

$$\vdots$$

$$S_i^2 = \frac{1}{2\pi j} \int \frac{N_1(z) N_1(z^{-1}) \cdots N_i(z) N_i(z^{-1}) z^{-1}}{D_1(z) D_1(z^{-1}) \cdots D_{i-1}(z) D_{i-1}(z^{-1})} dz \quad (13)$$

그리고 $\{\delta_o(n)\}$ 은 S_o 와 $D_i(z)$ 의 b_{ki}, b_{kj} 의 乘算에 起因하는 誤差이며, $\{\delta_i(n)\}$ 은 總 5 개의 乘算器를 갖는 $N_i(z)$ 와 $D_i(z)$ 에 起因하는 誤差이다. 그림 9의 경우 出力 平均自乘 誤差 (output mean-squared error) E^2 은 다음과 같다.^[15]

$$E^2 = N_o A_o \left[\sum_{i=1}^5 M_i \left[\frac{1}{2\pi j} \int \prod_{k=1}^i \frac{N_{k-1}(z) N_{k-1}(z^{-1})}{D_k(z) D_k(z^{-1})} S_k^2 \frac{dz}{z} \right] \right. \\ \left. + \left[\frac{1}{2\pi j} \int \prod_{k=1}^K \frac{N_k(z) N_k(z^{-1})}{D_k(z) D_k(z^{-1})} S_k^2 dz \right] + M_k \right] \quad (14)$$

여기서 $k \leq 0$ 이면 $N_k(z) = D_k(z) = 1$ 이고, M_i 는 i 번째 2 次函數 block에서 整數 (integer) 가 아닌 乘數의 簡數이며, $M_o = 3, M_k = 2$ 이다. 그리고 $N_o = 2^{-20}/12$ 이며 B는 固定小數點 表現에 있어서 負號 bit를 포함한 bit 數이다.

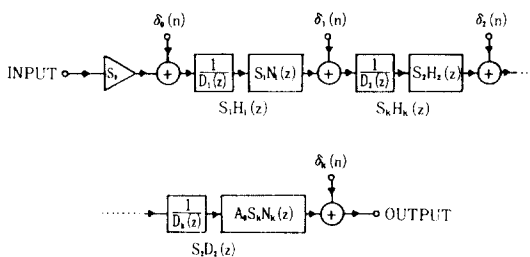


그림 9. Overflow를 방지하기 위한 cascade 실현의 scaling

Fig. 9. Scaling of a casdcaed realization to prevent overflow.

2. Pairing과 ordering을 爲한 program 및 simulation

(1) Program

Jacko^[16]은 2 次項으로 된 傳達函數의 서로 다른 ordering에 對하여 出力 雜音의 變化를 調査하고 良好한 ordering의 規則을 提示 하였으며, Hwang^[17]과 leuder^[18]는 最適 pole-zero pairing과 ordering을 결정해 주는 dynamic program을 提示 하였으나 高次函數의 경우 computer의 大量計算時間이 要求된다.

本論文에서는 式(13)을 利用하여 scaling因子를 求하고 式(14)로부터 雜音利得 (noise gain) E^2/N_o 을 거의

最小로 할 수 있고 computer의 計算時間이 훨씬 단축된 program을 作成하였다. K個의 2 次函數 block이 cascade 연결 되었을 時, E^2/N_o 을 計算하기 爲해 dynamic program은 式(14)를 대략 $\frac{1}{2}(2^{K+2}-1)$ 번 계산하는 반면에 本 program을 利用하면 $M(K(K-1)/2+1)$ 번 계산 한다. 여기서 M은 任意의 整數이다. 式(14)의 複素函數 積分 (complex integral)은 Angstrom^[17]의 algorithm을 利用하였으며, 本 program의 structured program을 그림10에 나타내었다.

```

PROCEDURE Optimal
  READ K,M
  FOR I := 1 TO K DO
    FOR J := 1 TO 3 DO
      READ Ajij,Bij
    J := 1
    Min := 1.E+15
    REPEAT
      call random generating routine
      Poles := Mp(*)
      Zeros := Mz(*)
      Min := 1.E+15
      I := 1
      REPEAT
        L := I + 1
        REPEAT
          call err computing routine
          IF Err < Min
            THEN BEGIN
              Min := Err
              Mloc(*) := Mz(*)
            END
          S := Mz(I)
          Mz(I) := Mz(L)
          Mz(L) := S
          L := L + 1
        UNTIL L=K
        I := I + 1
        O := K - I
      UNTIL I=O
      IF Min < Mim
        THEN BEGIN
          Mim := Min
          Mloc(*) := Mz(*)
          Mploc(*) := Mloc(*)
        END
      J := J + 1
    UNTIL J=M
    WRITE optimal zero ordering Mloc(*)
    WRITE optimal pole ordering Mploc(*)
    WRITE error for this ording Mim
end procedure

```

그림10. 준최적 할당을 위한 구조화 프로그램

Fig. 10. Structured program for sub-optimal assignment.

(2) Simulation

本論文의 II - 3 - 2에서 提示한 digital 楕圓필터設計例의 경우 E^2/N_o 를 거의 最小로 할 수 있는 準最適 pole-zero pairing과 ordering을 求하기 爲해 使用된 computer는 HP-1000이며, 任意의 整數 M은 5로 하였다. 設計例의 各 係數 값은 式(10)으로 나타내기 爲해 다시 求했으며, A_o 값은 크기特性의 最大값이 1이 되도록 規準화 시켰다. 그리고 overflow의 방지를 위한 scaling因子 S는 雜音利得이 가장 적은 경우에 限하여 求하였다.

以上의 結果들을 high-pass, band-pass 順으로 표 5, 6에 각각 나타내었다.

(3) 比較 및 檢討

High-pass 필터의 경우 표 5에 雜音利得 E^2/N_0 을 거의 최소로 할 수 있는 서로 다른 pairing과 ordering 을 15번 나타내었다. 각 경우 式(14)를 $5 \times [(5 \times 4/2) + 1] = 55$ 번 계산하는 반면 dynamic program은 $\frac{1}{2} \binom{2 \times 5 + 2}{5 + 1}$ = 461번 계산하게 된다. 이 필터의 경우 準最適割當(assignment)은 $(N:12435, D:31524)$ 이며, 雜音利得은 43.42dB이다. 표 5에서 최소치와 최대치의 差는 0.81dB 이므로 각 경우 모두가 거의 最適하다. 그러나 이 필터의 경우 가장 나쁜 割當을 本 program으로 求해보면 $(N:21543, D:54312)$ 이며, 잡음이득은 64.30dB이다. 結果的으로 6dB

표 5. High-pass 필터의 pole-zero pairing과 ordering

Table 5. Pole-zero pairing and ordering of high-pass filter.

ELLIPTIC HIGHPASS FILTER

SAMPLING FREQ. : 10000 [Hz]

 A_p [dB] : 5 A_s [dB] : 90 W_p : 3000 [Hz] W_s : 2700 [Hz]

ORDER : 10

ACTUAL A_p : 93.9570708232

Landa : 24989.5885225

(Selectivity) : .824100732787

 $H(Z) = A0 * H1(Z) * H2(Z) * \dots$ $H1(Z) = [A10 + A11(Z^-1) + A12(Z^-2)] / [B10 + B11(Z^-1) + B12(Z^-2)]$

RECURSIVE FILTER OF ORDER 10

SECTION # : 1

 $A(1,0)$: 1 $B(1,0)$: 1 $A(1,1)$: -.80009243803 $B(1,1)$: 1.37682786336 $A(1,2)$: 1 $B(1,2)$: .52343612127

SECTION # : 2

 $A(2,0)$: 1 $B(2,0)$: 1 $A(2,1)$: -.861530395728 $B(2,1)$: 1.12567786768 $A(2,2)$: 1 $B(2,2)$: .654048048381

SECTION # : 3

 $A(3,0)$: 1 $B(3,0)$: 1 $A(3,1)$: -.1962815255032 $B(3,1)$: .852080221967 $A(3,2)$: 1 $B(3,2)$: .800171191536

SECTION # : 4

 $A(4,0)$: 1 $B(4,0)$: 1 $A(4,1)$: .117642318171 $B(4,1)$: .677467165088 $A(4,2)$: 1 $B(4,2)$: .903787894622

SECTION # : 5

 $A(5,0)$: 1 $B(5,0)$: 1 $A(5,1)$: .237282846515 $B(5,1)$: .605294057638 $A(5,2)$: 1 $B(5,2)$: .971733863423 $A0$: .00146614189235

	BEST	ASSIGNMENT	NOISE	GAIN	DB
1	2 3	5 1 5 2 4		24477.22	43.89
2	2 2	5 3 5 1 4		26307.24	44.20
3	5 2	4 5 4 3 1 4		24498.67	43.89
4	3 2	1 5 4 1 4 3		24034.38	43.81
5	3 2	2 4 1 5 3		22362.85	43.50
6	4 2	2 5 1 4 3		25125.20	44.00
7	3 3	1 5 2 4		22266.53	43.48
8	4 2	5 3 3 1 4		24412.61	43.88
9	2 2	5 3 4 1 4		26562.48	44.24
10	5 3	1 5 2 4		24434.25	43.88
11	1 3	4 1 5 4 2		24524.29	43.90
12	1 3	2 1 4 3 2		22002.87	43.42
13	1 3	4 1 5 4 2		24524.29	43.90
14	2 2	3 4 5 1 3		24366.41	43.87
15	5 3	2 1 4 5 2		26458.66	44.23

HP FILTER NEAR OPTIMAL ASSIGNMENT

&

SCALING COEFFICIENTS

OPTIMAL	ASSIGNMENT	NOISE	GAIN	dB
1 3	2 1 5 2 4		22002.87	43.42

$S(1) = .279131591003$ $S(2) = .003488423972$ $S(3) = .294369716936$
 $S(4) = .064965416033$ $S(5) = .272074558381$ $S(6) = .289.787864856$

가 1bit에 해당하므로, $(N:21543, D:54312)$ 順으로 digital 필터를構成했다면 4bit가 더 많은 register를 사용해야 잡음이득을最小로 할 수 있다.

Band-pass 필터의 경우 각각의 계산량은 80번 이지만, dynamic program은 1715번이다. 이처럼 필터의次數가增加하면 할 수록 계산량의 差는 대단히크게된다. 이 필터의 경우 準最適割當은 $(N:463521, D:261543)$ 이며, 31.77dB이다. 가장 나쁜割當은 $(N:462351, D:513246)$ 이며, 91.18dB이다.

本論文에서 提示한 program의 타당성을 調査하기

위해 Hwang^(*)의 論文에서 說明된 8次 low-pass 필터函數에 對하여 고찰해 보았다. 이 필터의 경우 Hwang은 最適割當인 $\left(\begin{smallmatrix} N:1234 \\ D:2431 \end{smallmatrix}\right)$ 을 求하기 위해 $\frac{1}{2}(2 \times 4 + 2) = 125$ 번을 계산하였으나 本 論文의 program에 依하면 $5 \times (4 \times 3/2 + 1) = 35$ 번 계산하게 되며, 本 program

표 6. Band-pass 필터의 pole-zero pairing과 ordering

Table 6. Pole-zero pairing and ordering of Band-pass filter.

ELLIPTIC BANDPASS FILTER

SAMPLING FREQ. 10000 [Hz]

A_p [dB] : .2

A_s [dB] : 40

W_{p1} : 2000 [Hz]

W_{p2} : 3000 [Hz]

W_{s1} : 1900 [Hz]

W_{s2} : 3100 [Hz]

ORDER : 6

ACTUAL A_s : 44.1716376224

W_s : 20000

BW : 14346.8356566

(Selectivity) : .820653474907

$H(Z) = A_0 * H_1(Z) * H_2(Z) * \dots$

$H_1(Z) = (A_{10} + A_{11}Z^{-1} + A_{12}Z^{-2}) / (B_{10} + B_{11}Z^{-1} + B_{12}Z^{-2})$

RECURSIVE FILTER OF ORDER 12

SECTION # : 1

$A(1,0)$: 1 $B(1,0)$: 1

$A(1,1)$: 1.53798226803 $B(1,1)$: .224201447476

$A(1,2)$: 1 $B(1,2)$: .743334454886

SECTION # : 2

$A(2,0)$: 1 $B(2,0)$: 1

$A(2,1)$: -1.53798226803 $B(2,1)$: -.224201447476

$A(2,2)$: 1 $B(2,2)$: .743334454886

SECTION # : 3

$A(3,0)$: 1 $B(3,0)$: 1

$A(3,1)$: .889184839273 $B(3,1)$: .515377097592

$A(3,2)$: 1 $B(3,2)$: .880556476844

SECTION # : 4

$A(4,0)$: 1 $B(4,0)$: 1

$A(4,1)$: -.889184839273 $B(4,1)$: -.515377097592

$A(4,2)$: 1 $B(4,2)$: .880556476844

SECTION # : 5

$A(5,0)$: 1 $B(5,0)$: 1

$A(5,1)$: .7487000731313 $B(5,1)$: .621224902758

$A(5,2)$: 1 $B(5,2)$: .97055481678

SECTION # : 6

$A(6,0)$: 1 $B(6,0)$: 1

$A(6,1)$: -.74.8700731313 $B(6,1)$: -.621224902758

$A(6,2)$: 1 $B(6,2)$: .97055481678

A_0 : .01172023543

	BEST ASSIGNMENT						NOISE GAIN	dB
1	6	5	4	1	2	3	2990.63	34.76
	2	1	4	5	6	3		
2	3	6	4	2	5	1	1962.77	32.93
	3	2	6	4	1	5		
3	6	4	3	2	5	1	1986.85	32.98
	4	1	6	5	2	3		
4	6	5	3	2	1	4	2192.66	33.41
	4	1	5	6	3	2		
5	1	6	5	2	3	4	2353.07	33.72
	3	2	6	1	5	4		
6	5	2	4	3	1	6	2519.70	34.01
	2	5	4	1	3	6		
7	6	2	5	1	3	4	2100.13	33.22
	2	6	5	1	3	4		
8	6	5	1	2	4	3	2475.02	33.94
	4	3	5	2	6	1		
9	1	6	4	3	5	2	2245.80	33.51
	4	3	6	1	5	2		
10	1	3	6	5	4	2	2505.19	33.99
	1	3	6	5	4	2		
11	4	2	5	6	3	1	2600.34	34.15
	2	4	3	6	1	5		
12	6	2	3	1	5	4	1921.02	32.84
	2	6	3	1	5	4		
13	6	3	5	4	1	2	2268.99	33.56
	4	2	5	3	6	1		
14	5	6	3	4	2	1	2766.32	32.424
	2	5	4	1	6	3		
15	4	6	3	5	2	1	1572.95	31.97
	2	6	1	5	4	3		

BP FILTER NEAR OPTIMAL ASSIGNMENT

&

SCALING COEFFICIENTS

	OPTIMAL ASSIGNMENT	NOISE GAIN	dB
4	6	3	5
2	6	1	5

$S(1) = .440053343525$ $S(2) = .241802530609$ $S(3) = .713053848929$
 $S(4) = .213413823968$ $S(5) = .493640440918$ $S(6) = .16501204705$
 $S(7) = .88584716846$

으로 求한 15경우의 準最適割當 中에서 最小는 $\left(\begin{smallmatrix} N:1234 \\ D:2431 \end{smallmatrix}\right)$ 로 32.04dB이고 最大는 $\left(\begin{smallmatrix} N:4213 \\ D:3421 \end{smallmatrix}\right)$ 로 32.37dB이었다. 즉 각 경우 0.5dB를 초과하지 않음을 확인하였다. 그러므로 本 program을 利用하면 高次函數의 경우 dynamic program에 比하여 보다 빠른 시간에 거의 最適한 pole-zero pairing과 ordering을 求할 수 있다.

V. 結論

Digital 필터의 設計明細條件의 周波數領域에서 $\{A_p\}$,

A_a, Q_{pi}, Q_{ai}, T } を 주어질 때, 周波數 크기 應答特性이 他 函數에 比해 가장 優秀한 楕圓函數를 求하기 위한 program을 提示하였으며, 高次의 IIR digital 필터函數를 1次 또는 2次函數로 分解하여 digital 필터 素子를 最小로 하는 直接 canonic形으로 合成 한 後 cascade 連結法으로 合成하는 方法을 보였다. 그리고 hardware構成 時 有限語長 register 使用에 起因하는 量子化 誤差를 分析하여, dynamic range條件 下에 固定小數點 register를 使用하여 cascade 連結法으로 digital 필터를 實現할 경우 出力 雜音利得을 거의 最小로 할 수 있는 pole-zero pairing과 ordering 를決定하는 program을 提示하였다.

그러므로 어떤 分野의 digital 필터 設計者라도 本論文에서 提示한 program을 利用하면 bit數가 적은 register를 使用하여 양호한 周波數 應答特性을 얻을 수 있는 digital 필터를 設計할 수 있을 것이다.

參 考 文 獻

- [1] K. Hirano, S. Nishimura, and S.K. Mitra, "Design of Digital Notch Filter", *IEEE Trans. Circuits and Syst.*, vol. CAS-21, pp. 540-546, July 1974.
- [2] L.R. Rabiner and B. Gold, *Theory and Application of Digital Signal Processing*, N.Y., Prentice-Hall, 1975.
- [3] A. Antoniou, *Digital Filters Analysis and Design*, N.Y., McGraw-Hill Co., 1979.
- [4] F.J. Taylor, *Digital Filter Design Hand Book*, N.Y., Marcel Dekker Inc., 1983.
- [5] A. Antoniou et al., "Two methods for the reduction of quantization effects in Recursive digital filters", *IEEE Trans. Circuits and Syst.*, vol. CAS-30, pp. 260-167, Mar. 1983.
- [6] H.K. Kwan, "On the problem of designing IIR digital filters with short coefficient word lengths" *IEEE Trans. Acoust., Speech, and Signal Processing*, vol. ASSP-27, pp. 620-624, Dec. 1979.
- [7] P. Amstutz, "Elliptic approximation and elliptic filter design on small computers", *IEEE Trans. Circuits and Syst.*, vol. CAS-25, pp. 1001-1011, Dec. 1978.
- [8] L.B. Jackson, "Roundoff-Noise analysis for fixed-point digital filters realized in cascade or parallel form", *IEEE Trans. Audio and Electroacoust.*, vol. AU-18, June 1970.
- [9] S.Y. Hwang, "On optimization of cascade fixed-point digital filters", *IEEE Trans. Circuits and Syst. (Letters)*, vol. CAS-21, pp. 163-166, Jan. 1974.
- [10] A.J. Grossman, "Synthesis of Tchebyscheff parametter symetrical filters", *Proc. IRE*, vol. 45, pp. 454-473, Apr. 1957.
- [11] A.V. Oppenheim and R.W. Schafer, *Digital Signal Processing*, N. J., Prentice-Hall, 1975.
- [12] L.R. Rabiner and R.W. Schafer, *Digital Signal Processing of Speech Signals*, N.J., Prentice-Hall, 1978.
- [13] G.F. Franklin and J.D. Powell, *Digital Control Dynamic Systems*, Addison Wesley Publ. Comp. Inc., 1980.
- [14] C.R.W. Compbell and K.M. Reineck, "A Pole/Zero prewarping procedure in SCF design", *IEEE Trans. Circuits and Syst.*, vol. CAS-31, pp. 821-824, Sep. 1984.
- [15] A. Peled and B. Liu, *Digital Signal Processing: Theory, Design, and Application*, N.Y., John Wiley & Sons. Inc., 1976.
- [16] E. Leuder, "Minimizing the roundoff noise of digital filters by dynamic program", Preseted at the 1974 Arden House Workshop on Digital Signal Processing, Harriman, Ny.Y., Jan. 1974.
- [17] K.J. Astrom et al., "A numerical method for the evaluation of complex integrals", *IEEE Trans. Automat. Contr. (Short papers)*, vol. AC-13, pp. 468-471, Aug. 1970.